

Władysław PASZEK

Adam RÓŻYCKI

Zakład Maszyn Elektrycznych
Politechniki Śląskiej

OPERATOROWY SCHEMAT ZASTĘPCZY MODUŁU CIEPLNEGO
W MASZYNACH ELEKTRYCZNYCH W STANIE CIEPLNIE NIEUSTALONYM
I JEGO APROKSYMACJA PRZYBLIŻONYMI ANALOGAMI ELEKTRYCZNYMI

Streszczenie. Stosując przekształcenie Laplace-Carsona równań różniczkowych przewodnictwa cieplnego, opisujących stan cieplnie nieustalony w prostym odcinku pręta uzwojenia, zbudowano operatorowy schemat zastępczy modułu cieplnego maszyny elektrycznej, traktując temperaturę średnią jako zmienną stanu. Przedstawiono aproksymację tego modułu cieplnego za pomocą elektrycznych schematów analogowych. Przedyskutowano wpływ wymiarów geometrycznych wyodrębnionego elementu pręta na rozbieżność modułowo-fazowych charakterystyk częstotliwości przybliżonego analogu elektrycznego w stosunku do modułu cieplnego.

1. Wstęp

Obraz pola temperaturowego maszyny elektrycznej w stanach cieplnie nieustalonych wynika z układu równań różniczkowych przewodnictwa cieplnego

$$c\gamma \frac{\partial \mathcal{V}}{\partial t} = \text{div}(-\lambda \text{grad}) + q(x,y,z,t), \quad (1)$$

gdzie funkcja $\mathcal{V}(x,y,z,t)$ spełniająca powyższe równanie opisuje zmienną w czasie źródłowe trójwymiarowe pole temperatury.

Dla rozwiązania układu równań (1) trzeba znać początkowy rozkład temperatury, kształt geometryczny elementów maszyny oraz wzajemne powiązanie cieplne rozważanego elementu maszyny z innymi elementami i z medium chłodzącym.

Maszyna elektryczna stanowi jednak tak skomplikowany układ cieplny, że rozwiązanie równań przewodnictwa cieplnego, przy uwzględnieniu warunków brzegowych, dla całej maszyny staje się praktycznie niemożliwe.

W literaturze dotyczącej nieustalonych stanów cieplnych w maszynach elektrycznych spotyka się rozwiązania analityczne zagadnień przewodnictwa cieplnego (na ogół jednowymiarowego) [2], [7] dla jednego a co najwyżej dwu wybranych [1], [3] elementów maszyny cieplnie powiązanych równolegle (np. pakiet blach stojana i uzwojenie w części żłobkowej) lub szeregowo (np. uzwojenie w części żłobkowej i czołowej).

Otrzymane rozwiązania analityczne są mało użyteczne ze względu na skomplikowaną postać końcową. Najskuteczniejszym środkiem rozwiązującym tego typu układ równań jest zastąpienie stałych rozłożonych uproszczonym układem stałych skupionych. Wymagana jest tutaj dyskretyzacja pola cieplnego a więc przejście ze środowiska ciągłego opisanego równaniami różniczkowymi przewodnictwa cieplnego na siatkę przestrzenno-czasową.

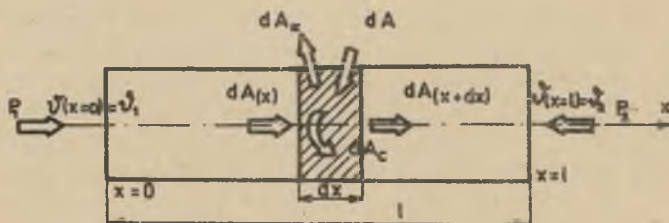
Jednak i w tym przypadku, nawet przy zastosowaniu elektronicznej techniki obliczeniowej; jak np. maszyn cyfrowych (MC), maszyn analogowych (MA) względnie przyrządów analogowych (analogów) rezystancyjno-pojemnościowych (RC) lub przyrządów analogowych (analogów) rezystancyjnych (R), metoda ta jest na ogół zbyt skomplikowana ze względu na bardzo złożony układ cieplny maszyny elektrycznej.

Zarówno dla konstruktora, jak i dla użytkownika maszyn elektrycznych, wystarczająca jest w szeregu przypadkach znajomość uśrednionych przebiegów temperaturowo-czasowych w elementach, na które podzielono całą maszynę elektryczną. Przy podziale na małą liczbę elementów względnie przy zastąpieniu większych fragmentów maszyny elektrycznej ciałem zastępczym o uśrednionej temperaturze i wkomponowaniu tego ciała w schemat zastępczy całej maszyny, można określić średnie pole temperatur w funkcji czasu, przy znacznie obniżonej pracochłonności i kosztach oprogramowania.

Warunkiem realizacji tego zamierzenia jest opracowanie schematów modułów cieplnych wybranych elementów maszyny elektrycznej, które najczęściej da się przedstawić w postaci przewodzących cieplnie ścianek, prętów czy wycinków walca wiernie odwzorowujących stan cieplnie nieustalony.

2. Schemat zastępczy modułu cieplnego elementu maszyny

Sporządzanie schematu zastępczego modułu cieplnego przedstawiono na przykładzie nagrzewania się pręta (rys. 1), reprezentującego wydzielony element maszyny elektrycznej, w którym nieustalony ruch ciepła opisany jest jednowymiarowym równaniem przewodzenia ciepła. Założono, że pręt o długości l i stałym przekroju poprzecznym dowolnego kształtu o powierzchni przekroju (s) i obwodzie (O_k) ma przewodność cieplną (λ) , ciepło właści-



Rys. 1. Bilans cieplny w pręcie w stanie nieustalonym

we (c) i gęstość właściwą (γ). Pręt nagrzewany jest rozłożonymi stratami własnymi zależnymi od temperatury $p_0 \cdot s(1 + \alpha \vartheta)$, gdzie przez (p_0) oznaczono umowną jednostkową moc strat własnych przy stałej temperaturze ciała równej 0°C , zaś przez (α) temperaturowy współczynnik rezystancyjny. Założono również wymianę ciepła z czołowych i bocznych krawędzi pręta, przyjmując stałą wartość współczynnika przejmowania ciepła (k) z krawędzi bocznych do sąsiedniego elementu, względnie otaczającego czynnika chłodzącego o temperaturze $\vartheta'_{k, \text{śr}}$.

Dla elementu o długości dx (rys. 1) obowiązuje następujące równanie bilansu cieplnego:

$$dA_x - dA_{(x+dx)} + dA - dA_k - dA_c = 0, \quad (2)$$

gdzie:

$$dA_x = -\lambda s \frac{\partial \vartheta}{\partial x} dt \quad - \text{energia cieplna dopływająca do elementu } dx \text{ w czasie } dt,$$

$$dA_{(x+dx)} = -\lambda s \frac{\partial \vartheta}{\partial x} dt - \lambda s \frac{\partial^2 \vartheta}{\partial x^2} dx dt \quad - \text{energia cieplna odpływająca z elementu } dx \text{ w czasie } dt,$$

$$dA = p_0 \cdot (1 + \alpha \vartheta) dx dt \quad - \text{energia cieplna wydzielana w elemencie } dx \text{ w czasie } dt,$$

$$dA_k = k \cdot 0_k (\vartheta - \vartheta'_{k, \text{śr}}) dx dt \quad - \text{energia cieplna wymieniana przez element } dx \text{ w czasie } dt \text{ z sąsiednim elementem lub z otoczeniem o temperaturze } \vartheta'_{k, \text{śr}},$$

$$dA_c = c \gamma s \frac{\partial \vartheta}{\partial t} dx dt \quad - \text{energia cieplna akumulowana w elemencie } dx \text{ w czasie } dt.$$

Po podstawieniu do wzoru (2) i uporządkowaniu

$$\frac{\partial^2 \vartheta}{\partial x^2} - \left(\frac{k \cdot 0_k - \alpha p_0 s}{\lambda s} \right) \vartheta + \frac{k \cdot 0_k}{\lambda s} \vartheta'_{k, \text{śr}} + \frac{p_0}{\lambda} - \frac{c \gamma}{\lambda} \frac{\partial \vartheta}{\partial t} = 0. \quad (3)$$

W wyniku przyjętych założeń

$$\frac{k \cdot 0_k - \alpha p_0 s}{\lambda s} = \text{const}, \quad \frac{k \cdot 0_k}{\lambda s} = \text{const}, \quad \frac{p_0}{\lambda} = \text{const}, \quad \frac{c \gamma}{\lambda} = \text{const}. \quad (4)$$

Uwzględniono warunki:

$$\left. \begin{array}{l} \text{początkowe dla } t = 0 \quad \vartheta(x, t) = \vartheta(x, 0) \\ \text{brzegowe dla } t \geq 0 \quad P_1 = -\lambda s \frac{\partial \vartheta(x, t)}{\partial x} \text{ przy } x = 0 \\ \quad \quad \quad \quad \quad P_2 = +\lambda s \frac{\partial \vartheta(x, t)}{\partial x} \text{ przy } x = 1 \end{array} \right\} \quad (5)$$

Stosując przekształcenie Laplace'a-Carsona względem zmiennej czasu, można przedstawić równanie liniowe o stałych współczynnikach (3) równaniem w postaci operatorowej:

$$\begin{aligned} \frac{d^2 \psi(x, p)}{dx^2} - \frac{1}{\lambda s} [k O_k - \alpha p_0 s + c \chi s p] \psi(x, p) + \frac{k O_k}{\lambda s} \psi_{k, s r}(p) + \\ = \frac{1}{\lambda s} [p_0 s + c \chi s p \psi(x, 0)] = 0. \end{aligned} \quad (6)$$

Podstawiając:

$$\frac{1}{\lambda s} [k O_k - \alpha p_0 s + c \chi s p] = a^2 \quad (7)$$

$$\frac{1}{\lambda s} [k O_k \psi_{k, s r}(p) + p_0 s + c \chi s p \psi(x, 0)] = b$$

otrzymamy równanie różniczkowe względem zmiennej położenia:

$$\frac{d^2 \psi(x, p)}{dx^2} - a^2 \psi(x, p) + b = 0 \quad (8)$$

z warunkami początkowymi

$$\psi(x, t) = \psi(x, 0)$$

brzegowymi

$$P_1(x, p) = -\lambda s \frac{d\psi(x, p)}{dx} \quad \text{dla } x = 0 \quad (9)$$

$$P_2(x, p) = \lambda s \frac{d\psi(x, p)}{dx} \quad \text{dla } x = 1,$$

którego rozwiązanie

$$\psi(x, p) = C_1 e^{ax} + C_2 e^{-ax} + \frac{b}{a^2}, \quad (10)$$

gdzie:

$$\frac{b}{a^2} = \frac{p_0 s + k O_k \psi_{k, s r}(p) + c \chi s p \psi(x, 0)}{k O_k - \alpha p_0 s + c \chi s p}, \quad (11)$$

$$\frac{d\psi(x, p)}{dx} = a(C_1 e^{ax} - C_2 e^{-ax}), \quad (12)$$

Stałe C_1, C_2 wynikają z układu równań (9)

$$C_1 = \frac{P_1(p) e^{-a1} + P_2(p)}{2\lambda s a \operatorname{sh} a1} \quad C_2 = \frac{P_1(p) e^{a1} + P_2(p)}{2\lambda s a \operatorname{sh} a1}. \quad (13)$$

Po podstawieniu do wzoru (10)

$$\psi(x, p) = \frac{P_1(p)}{\lambda s a} \cdot \frac{\operatorname{ch} a(x-1)}{\operatorname{sh} a1} + \frac{P_2(p)}{\lambda s a} \cdot \frac{\operatorname{ch} ax}{\operatorname{sh} a1} + \frac{b}{a^2} \quad (14)$$

Średnia wartość temperatury pręta

$$\psi_{\text{śr}}(p) = \frac{1}{1} \int_0^1 \psi(x, p) dx \quad (15a)$$

stąd

$$\psi_{\text{śr}}(p) = \frac{P_1(p) + P_2(p)}{\lambda s a^2} + \frac{b}{a^2}. \quad (15b)$$

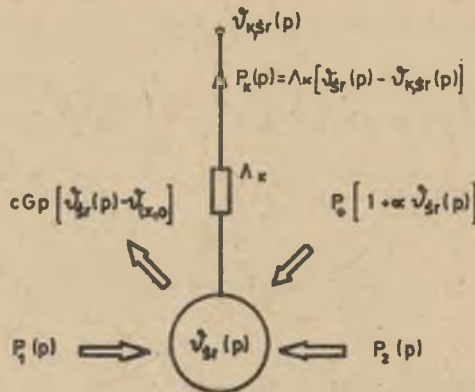
Oznaczając $P_0 = p_0 a1$, $\Lambda_k = k O_k 1$, $cG = c\gamma a1$ po podstawieniu do wyrażen (7) i wykorzystując równanie (15b)

$$\psi_{\text{śr}}(p) = \frac{P_1(p) + P_2(p)}{\Lambda_k - \alpha P_0 + cGp} + \frac{P_0 + \Lambda_k \psi_{\text{śr}}(p) + cGp \psi(x, 0)}{\Lambda_k - \alpha P_0 + cGp}. \quad (16)$$

Po uporządkowaniu

$$P_1(p) + P_2(p) + P_0 [1 + \alpha \psi_{\text{śr}}(p)] - \Lambda_k [\psi_{\text{śr}}(p) - \psi_{k, \text{śr}}(p)] - cGp [\psi_{\text{śr}}(p) - \psi(x, 0)] = 0 \quad (17)$$

Równaniu (17) odpowiada schemat zastępczy w stanie cieplnie nieustalonym przedstawiony na rys. 2.



Rys. 2. Ciepły schemat zastępczy modułu odwzorowujący temperaturę średnią pręta w stanie niestabilnym, zgodnie z równaniem (17)

Korzystając z zależności (14), (16)

$$\bar{v}_1(p) - \bar{v}_{sr}(p) = P_1(p) \left[\frac{\operatorname{ctgh} al - \frac{1}{al}}{\lambda s a} \right] + P_2(p) \left[\frac{\frac{1}{\operatorname{sh} al} - \frac{1}{al}}{\lambda s a} \right], \quad (18a)$$

$$\bar{v}_2(p) - \bar{v}_{sr}(p) = P_2(p) \left[\frac{\operatorname{ctgh} al - \frac{1}{al}}{\lambda s a} \right] + P_1(p) \left[\frac{\frac{1}{\operatorname{sh} al} - \frac{1}{al}}{\lambda s a} \right]. \quad (18b)$$

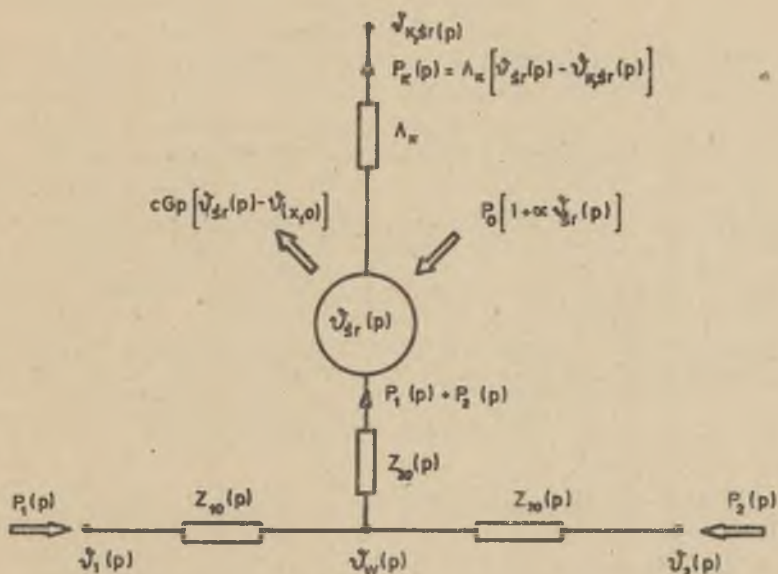
Po podstawieniu za operatorową admittanceję względnie impedancję cieplną:

$$\Lambda_1(p) = \frac{1}{Z_1(p)} = \frac{\lambda s a}{\frac{1}{\operatorname{sh} al} - \frac{1}{al}} \quad \Lambda_2(p) = \frac{1}{Z_2(p)} = \frac{\lambda s a}{\operatorname{ctgh} al - \frac{1}{al}} \quad (19)$$

$$\bar{v}_1(p) - \bar{v}_{sr}(p) = \frac{P_1(p)}{\Lambda_2(p)} + \frac{P_2(p)}{\Lambda_1(p)} \quad (20a)$$

$$\bar{v}_2(p) - \bar{v}_{sr}(p) = \frac{P_2(p)}{\Lambda_2(p)} + \frac{P_1(p)}{\Lambda_1(p)}. \quad (20b)$$

Wprowadzając schemat zastępczy podany na rys. 3 można z równań (20a,b) wyliczyć impedancje operatorowe do punktu gwiazdowego schematu zastępczego.



Rys. 3. Ciepły schemat zastępczy modułu odwzorowujący temperaturę średnią pręta w stanie nieustalonym

Z równania (20a) wynika:

$$\text{przy } P_1(p) = 0 \quad Z_{30}(p) = Z_1(p)$$

oraz

$$\text{przy } P_2(p) = 0 \quad Z_{30}(p) + Z_{10}(p) = Z_2(p). \quad (21a)$$

Z równania (20b) wynika:

$$\text{przy } P_2(p) = 0 \quad Z_{30}(p) = Z_1(p)$$

oraz

$$\text{przy } P_1(p) = 0 \quad Z_{20}(p) + Z_{30}(p) = Z_2(p). \quad (21b)$$

Stąd wynika ostatecznie:

$$Z_{10}(p) = Z_{20}(p) = \frac{ch_{al} - 1}{\Lambda_{sa} Z_1 sh_{al}} \quad (22a)$$

$$Z_{30}(p) = \frac{sh_1 - eh_{al}}{\Lambda_{sa} Z_1 sh_{al}} \quad (22b)$$

gdzie

$$a_1 = \sqrt{\frac{1}{\lambda s} (k l O_k - \alpha p_0 s l + c \gamma s l p)} \quad (23)$$

$$\lambda s a = \sqrt{\frac{\lambda s}{T} (k l O_k - \alpha p_0 s l + c \gamma s l p)}. \quad (24)$$

Można wyrazić a_1 oraz $\lambda s a$ za pomocą wielkości pomocniczych:

$$\begin{aligned} R_\lambda &= \frac{1}{\lambda s} && \text{- opór cieplny pręta dla ruchu ciepła wzdłuż} \\ & && \text{osi } x, \\ R_k &= \frac{1}{k l O_k} && \text{- opór cieplny dla ruchu ciepła z bocznej} \\ & && \text{powierzchni pręta,} \\ P_0 &= p_0 s l && \text{- znane straty własne wydzielane w pręcie} \\ & && \text{(stałe),} \\ cG &= c \gamma s l && \text{- pojemność cieplna pręta.} \end{aligned} \quad (25)$$

Po podstawieniu wzorów (25) do (24)

$$\begin{aligned} a_1 &= \sqrt{R_\lambda} \sqrt{\left(\frac{1}{R_k} - \alpha P_0\right) + cGp} \\ \lambda s a &= \frac{1}{\sqrt{R_\lambda}} \sqrt{\left(\frac{1}{R_k} - \alpha P_0\right) + cGp}. \end{aligned} \quad (26)$$

Przyjmując:

$$\frac{1}{R_k^*} = \frac{1}{R_k} - \alpha P_0 \quad \beta = \sqrt{\frac{R_\lambda}{R_k^*}} \quad (27)$$

oraz wprowadziwszy ciepłą stałą czasową $T_k^* = R_k^* cG$, operatorowe impedancje cieplne (22a,b) przyjmują postać:

$$Z_{10}(p) = Z_{20}(p) = \frac{R_\lambda}{\beta \sqrt{1+pT_k^*}} \frac{\operatorname{ch} \beta \sqrt{1+pT_k^*} - 1}{\operatorname{sh} \beta \sqrt{1+pT_k^*}} \quad (28)$$

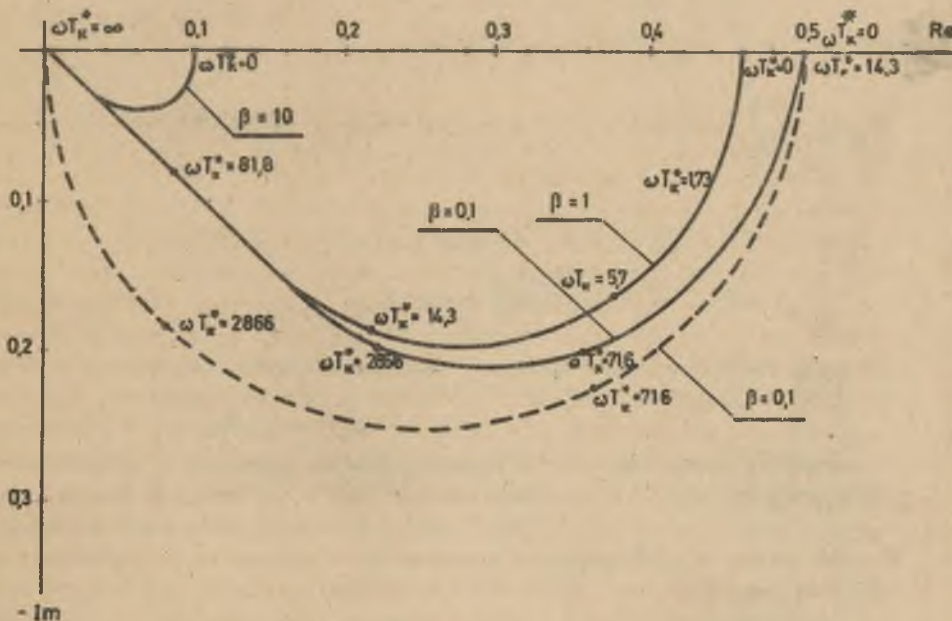
$$Z_{30}(p) = \frac{R_\lambda}{\beta \sqrt{1+pT_k^*}} \left[\frac{1}{\operatorname{sh} \beta \sqrt{1+pT_k^*}} - \frac{1}{\beta \sqrt{1+pT_k^*}} \right] \quad (29)$$

Wykorzystanie ścisłego schematu zastępczego modułu cieplnego z rys. 3 do analizy temperatury średniej jest utrudnione ze względu na skomplikowaną postać operatorowych impedancji cieplnych, będących funkcjami niewymiernymi, których odwrotne przekształcenie do postaci czasowych następuje z trudnością.

3. Aproxymacja schematu zastępczego modułu cieplnego przybliżonym elektrycznym schematem analogowym

O skomplikowaniu ścisłego schematu zastępczego i o możliwości aproxymacji tego modułu cieplnego za pomocą analogowej sieci elektrycznej można zorientować się na podstawie charakterystyki modułowo-fazowej impedancji cieplnej, podstawiając do równań (28) i (29) $p = j\omega$ dla $p \in (0, \infty)$.

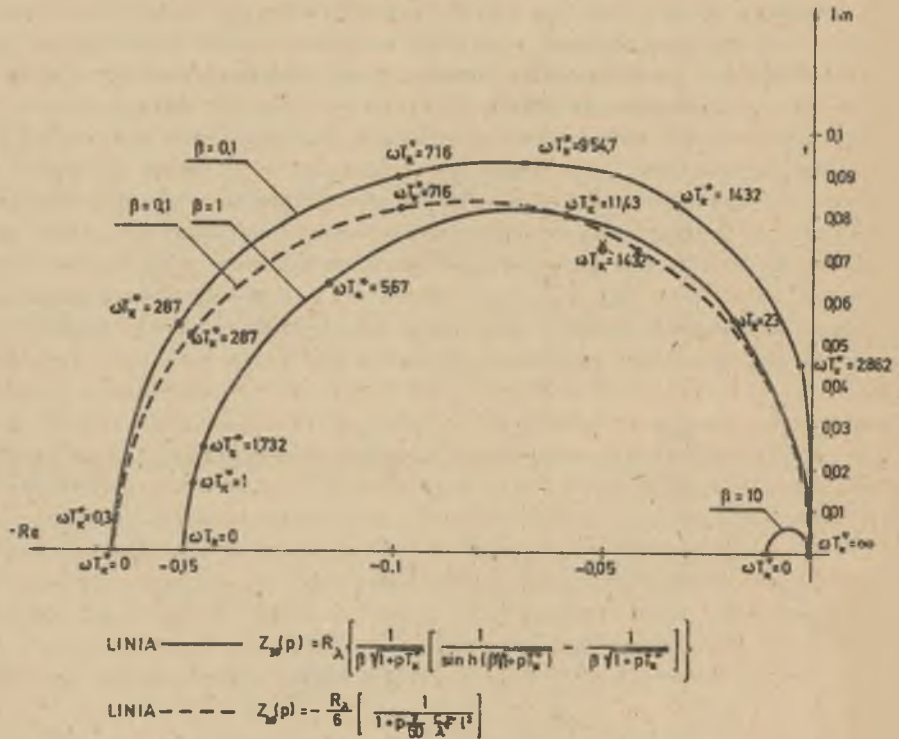
Na rys. 4 i 5 przedstawiono charakterystykę modułowo-fazową impedancji cieplnej $Z_{10}(p) = Z_{20}(p)$ oraz $Z_{30}(p)$ dla różnych wartości β (linia ciągła). Dla $Z_{10}(p) = Z_{20}(p)$ charakterystyka zbliżona jest swoją postacią do lemniskaty, która dla $\omega \rightarrow \infty$ przecina oś liczb rzeczywistych pod kątem 45° , a dla $\omega = 0$ pod kątem 90° . Charakterystyka dla $Z_{30}(p)$ przecina oś liczb rzeczywistych pod kątem 90° dla $\omega = 0$ i $\omega \rightarrow \infty$. Wszelkie analogowe sieci elektryczne o stałych skupionych wykazują naturalną własność przecinania osi liczb rzeczywistych pod kątem 90° dla $\omega \rightarrow \infty$



LINIA ——— $Z_{\omega}(p) = Z_{20}(p) = R_{\lambda} \left\{ \frac{1}{\beta \sqrt{1 + p T_k^*}} \left[\frac{\cosh(\beta \sqrt{1 + p T_k^*}) - 1}{\sinh(\beta \sqrt{1 + p T_k^*})} \right] \right\}$

LINIA - - - - $Z_{\omega}(p) = Z_{30}(p) = \frac{R_{\lambda}}{2} \left[\frac{1}{1 + p \frac{C_p}{12 \lambda} l^2} \right]$

Rys. 4. Charakterystyki modułowo-fazowe impedancji $Z_{10}(p) = Z_{20}(p)$ dla różnych wartości β



Rys. 5. Charakterystyki moduło-fazowe impedancji $Z_{30}(p)$ dla różnych wartości β

W konsekwencji nie da się sporządzić analogowej sieci elektrycznej o stałych skupionych, odwzorowującej tę impedancję cieplną, dla dużych częstotliwości. Poszukiwania sieci zastępczych linii długich, o parametrach rozłożonych odwzorowujących tę impedancję cieplną, są jeszcze w stadium studialnym.

Rezygnując przeto z możliwie dokładnego odwzorowania $Z_{10}(p) = Z_{20}(p)$ za pomocą sieci elektrycznej dla dużych częstotliwości, można postawić zadanie budowy sieci aproksymującej charakterystykę moduło-fazową w pozostałym zakresie częstotliwości.

Dla budowy analogu elektrycznego, odwzorowującego stan cieplnie niestabilny, w modułowym schemacie zastępczym wybranego fragmentu maszyny elektrycznej jest przydatne posłużenie się pojęciem zastępczej cieplnej stałej czasowej przebiegu temperatury [6]. Na impedancji cieplnej $Z_{10}(p) = Z_{20}(p)$, bądź $Z_{30}(p)$ przy ekokowym wymuszeniu mocy od zerowych warunków początkowych

$$T_{zc} = \frac{\int_0^{\infty} [v_{ust} - v(t)] dt}{v_{ust}} \quad (30)$$

Można wykazać [6], że zastępcza cieplna stała czasowa może być obliczona bezpośrednio z operatorowej formy $\psi(p)$

$$T_{zc} = \frac{\lim_{p \rightarrow 0} \left[- \frac{d\psi(p)}{dp} \right]_{p=0}}{\psi(p)_{p=0}} \quad (31)$$

Przy wymuszeniach nieskokowych od zerowych warunków początkowych obowiązuje:

$$\psi(p) = P(p) Z(p), \quad (32)$$

której konsekwencją jest wartość zastępczej cieplnej stałej czasowej przebiegu temperatury

$$T_z = T_{zp} + T_{zc},$$

przy czym

$$T_{zp} = \frac{\lim_{p \rightarrow 0} \left[\frac{dP(p)}{dp} \right]_{p=0}}{P(p)_{p=0}} \quad (33)$$

Połączenie się zastępczą stałą czasową jest szczególnie przydatne dla monotonicznych przebiegów temperatury.

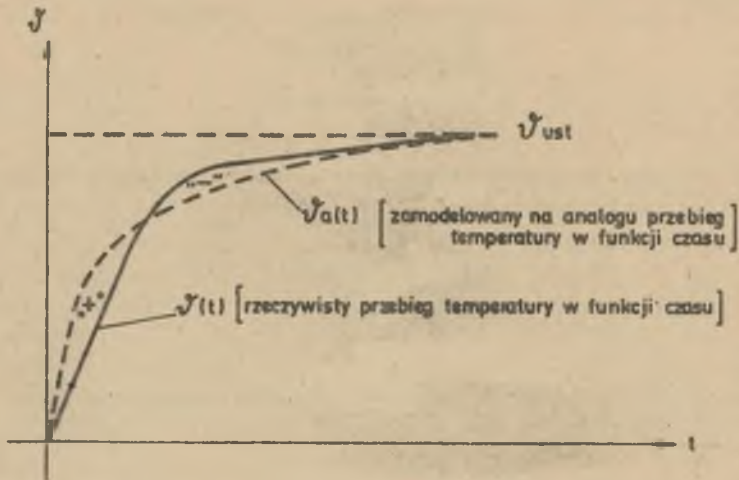
Jeżeli analogowa sieć elektryczna o impedancji $Z_e(p)$ aproksymująca impedancję cieplną $Z(p)$, wykaże zgodność zastępczej stałej czasowej, co sprawdza się do ściślego odtworzenia wartości granicznej

$$Z_e(p=0) = Z(p=0) \quad (34)$$

oraz pierwszej pochodnej względem p dla $p \rightarrow 0$

$$\left[\frac{dZ_e(p)}{dp} \right]_{p=0} = \left[\frac{dZ(p)}{dp} \right]_{p=0} \quad (35)$$

wówczas przebiegi temperatury wykażą tę samą wartość powierzchni całkowej, określonej przez całkę z równania (30) (rys. 6).



Rys. 6. Charakterystyki temperaturowo-czasowe charakteryzujące się tą samą powierzchnią całkową z równania (30)

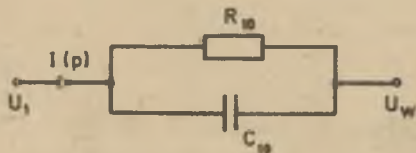
Jako przybliżenie impedancji $Z_{10}(p) = Z_{20}(p)$ może być uważany dwójnik RC o impedancji

$$Z_{1a}(p) = R_{1a} \frac{1}{1 + pT_1}$$

przedstawiony na rys. 7, w którym odpowiednio do równań (34) i (35) łączy zgodność oporów dla $p = 0$ oraz zgodność pochodnej $\left[\frac{dZ}{dp}\right]$ dla $p = 0$. Elementy R i C dwójnika z rys. 7 obliczamy z zależności:

$$Z_{1a}(p=0) = Z_{10}(p=0),$$

$$C = \frac{T_{Z_{1a}}}{Z_{1a}(p=0)} = \frac{T_{Z_{10}}}{Z_{10}(p=0)}. \quad (36)$$



$$Z_{1a}(p=0) = R_{10}$$

$$T_{Z_{1a}} = R_{10} C_{10}$$

Rys. 7. Analog elektryczny odwzorowujący impedancje cieplne $Z_{10}(p) = Z_{20}(p)$

gdzie

$$Z_{10}(p=0) = \frac{R_A}{\beta} \left[\frac{\operatorname{ch} \beta - 1}{\operatorname{sh} \beta} \right] \quad (37)$$

$$T_{z10} = \frac{cG R_A}{2\beta} \left[\frac{1}{\beta} - \frac{1}{\operatorname{sh} \beta} \right]. \quad (38)$$

Jeżeli jest pożądanе otrzymanie lepszych przybliżeń, trzeba odpowiednio skomplikować elektryczną sieć analogową. Przy wymuszeniu skokowym przebieg temperatury średniej, odtworzony za pomocą przybliżonego schematu analogowego, jest wykładniczy o stałej czasowej T_{z10} , natomiast rzeczywisty przebieg temperatury jest krzywą skomplikowaną o tej samej powierzchni całkowitej z równania (30).

Można wykazać, że początkowy rzeczywisty przebieg temperatury ($p \rightarrow \infty$) jest asymptotyczny do funkcji

$$\frac{R_A}{\beta} \mathcal{L}^{-1} \frac{P(p)}{\sqrt{1 + pT_k^2}}$$

Przy skokowym wymuszeniu $P(t)$ jest to funkcja przejścia elementu pólinarnyjnego II rzędu [5]. Na rys. 4 linią przerywaną (dla $\beta = 0,1$) zaznaczono charakterystykę modułowo-fazową impedancji $Z_{10}(p) = Z_{20}(p)$ dwójnika RC.

Dla zmodelowania impedancji $Z_{30}(p)$ można również posłużyć się podobnym przybliżonym schematem analogowym RC, z tym że opór $Z_{30}(p=0)$ jest ujemny. Analog elektryczny, w którym otrzymuje się ujemną wartość oporu $Z_{30}(p)$ przy dodatniej zastępczej stałej czasowej można zbudować w układzie wzmacniacza elektronicznego (rys. 8).

Elementy R_1, R_2, R_0, C_1 schematu analogowego z rys. 8 oraz wzmocnienie a wzmacniacza elektronicznego obliczamy jak poprzednio z porównania granicznych wartości impedancji analogu aproksymującego i impedancji $Z_{30}(p=0)$:

$$Z_{3a}(p=0) = Z_{30}(p=0) = \frac{U_{ust}}{I_{ust}} \quad (39)$$

oraz ze zgodności pomiędzy zastępczymi stałymi czasowymi obliczonymi dla analogowej sieci aproksymującej i dla impedancji $Z_{30}(p)$:

$$T_{z3a} = T_{z30} \quad (40)$$

Przy danych wzmacniacza .

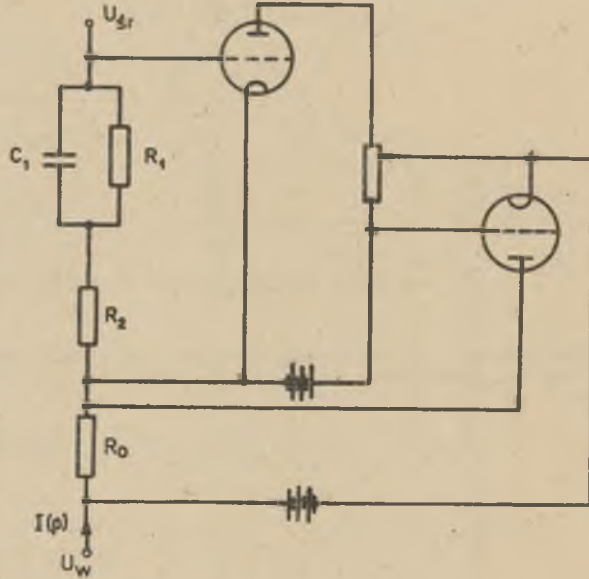
R_0 oraz a ($R_0 a > 1$)

wynika:

$$R_2 = \frac{R_0}{a R_0 - 1}$$

$$R_1 = \frac{Z_{30}(p)}{1 - a R_0}$$

$$C_1 = \frac{T_{z30}}{R_1}$$



Rys. 8. Analog elektryczny odwzorowujący impedancję cieplną $Z_{30}(p)$

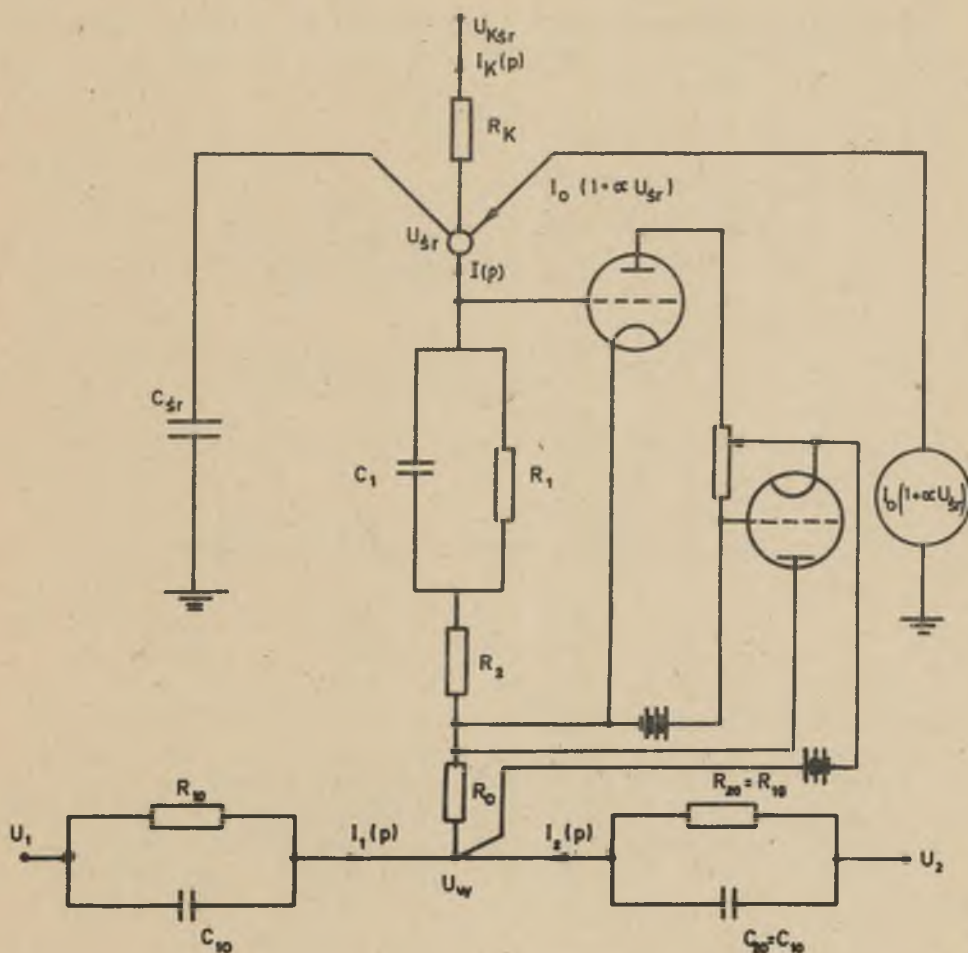
gdzie:

$$Z_{30}(p=0) = \frac{R_\lambda}{\beta} \left[\frac{1}{\text{sh}\beta} - \frac{1}{\beta} \right] \quad (41)$$

$$T_{z30} = \frac{cG R_\lambda}{2\beta^2} \left[\frac{\beta \text{ch}\beta + 2 \text{sh}\beta}{\text{sh}\beta} \right] - \frac{cG R_\lambda}{2\beta} \left[\frac{1 - \text{ch}\beta}{\beta - \text{sh}\beta} \right] \quad (42)$$

Na rys. 5 linią przerywaną (dla $\beta = 0,1$) zaznaczono charakterystykę moduło-fazową impedancji $Z_{30}(p)$ analogu RC.

Pozostałe parametry przybliżonego schematu analogowego modułu cieplnego, tj. podstawową pojemność cieplną cG pręta, wewnętrzne źródła wydzielanych strat cieplnych $P_0 [1 + \alpha \psi_{\delta r}(t)]$ oraz opór cieplny R_k dla ruchu ciepła z bocznej powierzchni pręta, odwzorowuje się również za pomocą wielkości elektrycznych (pojemności $C_{\delta r}$, źródeł prądowych uzależniających prąd źródła od napięcia występującego w węzle $U_{\delta r}$ oraz rezystancji R_k). Przybliżony analogowy schemat zastępczy modułu cieplnego pręta w stanie cieplnie nieustalonym jest przedstawiony na rys. 9.



Rys. 9. Przybliżony analogowy schemat zastępczy modułu cieplnego pręta w stanie nieustalonym

W wyniku zbieżności tylko pochodnej impedancji cieplnej dla $p=0$ i oporów cieplnych dla $p=0$ dla schematu modułowego i przybliżonego analogu złożonego z dwójników RC nie występuje ścisła zbieżność charakterystyk modułowo-fazowych schematu modułowego z kołowymi charakterystykami analogu przybliżonego. Interesująca jest dyskusja wpływu wymiarów geometrycznych wyodrębnionego fragmentu nagrzewanego ciała na rozbieżność charakterystyk modułowo-fazowych przybliżonego analogu w stosunku do schematu modułowego.

Uwzględniając, że w związkach na impedancje operatorowe występują wyrażenia $\operatorname{sh} a l$ oraz $\operatorname{ctgh} a l$, w których argumenty są proporcjonalne do długości nagrzewanego ciała l (23) można posłużyć się rozwinięciem w sze-

reg potęgowy Maclaurina tych funkcji względem αl , aż do pierwszych znaczących wyrazów szeregu. Wprowadzając oznaczenia:

$$\mathfrak{x}(p) = \alpha l \quad (43)$$

operatorowe impedancje cieplne

$$Z_{10}(p) = Z_{20}(p) = \frac{R_{\Lambda}}{\mathfrak{x}(p)} \left[\frac{\operatorname{ch}\mathfrak{x}(p) - 1}{\operatorname{sh}\mathfrak{x}(p)} \right]. \quad (44)$$

$$Z_{30}(p) = \frac{R_{\Lambda}}{\mathfrak{x}(p)} \left[\frac{1}{\operatorname{sh}\mathfrak{x}(p)} - \frac{1}{\mathfrak{x}(p)} \right]. \quad (45)$$

Z rozwinięcia wyrażenia $Z_{10}(p)$, $Z_{30}(p)$ w szereg potęgowy względem $\mathfrak{x}(p)$

$$\left. \begin{aligned} \operatorname{ch}\mathfrak{x}(p) &= 1 + \frac{\mathfrak{x}^2(p)}{2!} + \frac{\mathfrak{x}^4(p)}{4!} + \frac{\mathfrak{x}^6(p)}{6!} + \dots + \frac{\mathfrak{x}^{2n}(p)}{2n!} \\ \operatorname{sh}\mathfrak{x}(p) &= \mathfrak{x}(p) + \frac{\mathfrak{x}^3(p)}{3!} + \frac{\mathfrak{x}^5(p)}{5!} + \frac{\mathfrak{x}^7(p)}{7!} + \dots + \frac{\mathfrak{x}^{2n+1}(p)}{2n+1!} \end{aligned} \right\} \quad (46)$$

uwzględniamy dla małych $\mathfrak{x}(p)$ pierwsze znaczące wyrazy szeregu

$$\begin{aligned} Z_{10}(p) = Z_{20}(p) &\approx \frac{R_{\Lambda}}{\mathfrak{x}(p)} \left[\frac{1 + \frac{\mathfrak{x}^2(p)}{2!} + \frac{\mathfrak{x}^4(p)}{4!} - 1}{\mathfrak{x}(p) + \frac{\mathfrak{x}^3(p)}{3!}} \right] \approx \frac{R_{\Lambda}}{2} \left[\frac{1 + \frac{\mathfrak{x}^2(p)}{12}}{1 + \frac{\mathfrak{x}^2(p)}{6}} \right] \\ &\approx \frac{R}{2} \left[\frac{1}{1 + \frac{\mathfrak{x}^2(p)}{12}} \right] \end{aligned} \quad (47)$$

$$\begin{aligned} Z_{30}(p) &\approx \frac{R_{\Lambda}}{\mathfrak{x}(p)} \left[\frac{1}{\mathfrak{x}(p) + \frac{\mathfrak{x}^3(p)}{3!} + \frac{\mathfrak{x}^5(p)}{5!}} - \frac{1}{\mathfrak{x}(p)} \right] \approx -\frac{R_{\Lambda}}{6} \left[\frac{1 + \frac{\mathfrak{x}^2(p)}{20}}{1 + \frac{\mathfrak{x}^2(p)}{6} + \frac{\mathfrak{x}^4(p)}{120}} \right] \\ &\approx -\frac{R_{\Lambda}}{6} \left[\frac{1}{1 + \frac{7}{60} \mathfrak{x}^2(p)} \right]. \end{aligned} \quad (48)$$

Podstawiając za $\mathcal{X}^2(p) = (a l)^2$, otrzymujemy przybliżone operatorowe impedancje cieplne dla małych $\mathcal{X}(p)$.

$$Z_{10}(p) \cong Z_{20}(p) = \frac{R_{\lambda}}{2} \left[\frac{1}{1 + \frac{1}{12} \cdot \frac{c\bar{x}}{\lambda} l^2 p} \right] \cong \frac{R_{\lambda}}{2} \left[\frac{1}{1 + p\tau_1} \right] \quad (49)$$

$$Z_{30}(p) \cong -\frac{R_{\lambda}}{6} \left[\frac{1}{1 + \frac{7}{60} \cdot \frac{c\bar{x}}{\lambda} l^2 p} \right] \cong -\frac{R_{\lambda}}{6} \left[\frac{1}{1 + p\tau_3} \right], \quad (50)$$

gdzie:

$$\tau_1 = \frac{1}{12} \frac{c\bar{x}}{\lambda} l^2, \quad \tau_3 = \frac{7}{60} \frac{c\bar{x}}{\lambda} l^2 \quad (51)$$

Dla małych wymiarów geometrycznych schematy ściśle modułów cieplnych zbliżają się do schematów analogów przybliżonych. Uwzględniając z równań (25) (51) że opory cieplne R_{λ} maleją proporcjonalnie do wymiarów geometrycznych l , zaś stałe czasowe do kwadratu wymiarów geometrycznych l^2 , można dla malejących wymiarów geometrycznych pominąć pojemności boczniujące opory cieplne $Z_{10}(p=0)$, $Z_{20}(p=0)$ (rys. 3). Jeżeli uwzględni się w równaniach (25) i (50), że podział ciała na coraz mniejsze odcinki powoduje zwiększenie się oporu R_k a jednocześnie zmniejszanie się oporu $Z_{30}(p=0)$ proporcjonalnie do wymiarów liniowych l , można w miarę gęstości podziału ciała pominąć opory $Z_{30}(p=0)$ w schematach modułowOfych (rys. 3).

W ten sposób dochodzi się ze schematów modułowOfych w relacjach operatorowych do siatek cieplnych o rozłożeniu dyskretnym, rozwiązujących problem nagrzewania ciała (rys. 10), przy czym widoczna jest w tym przejściu malejąca rola pojemności boczniujących i ujemnego oporu $Z_{30}(p=0)$ w miarę wzrostu ilości podziałów ciała na fragmenty, których temperatura średnia jest identyfikowana jako temperatura lokalna. Ilustruje to rys. 10.

4. Wnioski

Schemat zastępczy modułu cieplnego odwzorowuje stan cieplnie nieustalony w pręcie i może być zaadaptowany dla elementów maszyny elektrycznej o dowolnym kształcie, jak np. ścianki przewodzącej względnie wycinka walca.

Przyjęte warunki brzegowe, ujmujące zarówno zgodność mocy jak i zgodność temperatur występujących na krawędziach czołowych pręta, pozwalają na skompletowanie cieplnego schematu zastępczego dla całej maszyny, złożonego z modułów cieplnych.

Zaproponowano aproksymację modułów cieplnych elektrycznymi przybliżonymi schematami analogowymi RC dla wyznaczania temperatur średnich w poszczególnych fragmentach maszyny.

Przez podział cała na fragmenty zmniejszają się podmoduły cieplne a w miarę zwiększania liczby podziałów rośnie dokładność odwzorowania modułów cieplnych przez schematy analogowe RC, w których relacje temperatur średnich odnoszą się do podzielonych fragmentów ciała. W granicy przy rosnącej nieskończenie liczbie podziałów ciała, temperatura średnia fragmentu może być identyfikowana z temperaturą lokalną o rozłożeniu ciągłym.

LITERATURA

- [1] Hajek M.: Die Ermittlung des unbeständigen eindimensionalen Wärmeflusses in zwei Körpern. Archiv für Elektrotechnik H. 5, 1973.
- [2] Hak J.: Zur Berechnung des zeitabhängigen Temperaturverlaufs in einem Stab mit innerer Wärmezeugung. Archiv für Elektrotechnik H. 6, 1966.
- [3] Kessler A.: Zur Theorie des Wärmequellennetzes. Archiv für Elektrotechnik H. 2, 1964.
- [4] Mukosiej J.: Opory przewodzenia zastępczej sieci cieplnej maszyn elektrycznych. Archiwum Elektrotechniki z. 4, 1973.
- [5] Nietušil A.V., Lyčkina G.P., Miljukova T.F.: Poluinercionnoje zveno II roda i modeli elektrotermičeskich objektov. Izvestija Vysšich Učebnych Zavedenii Nr 7, 1972.
- [6] Paszek W.: Analiza podstawowych parametrów maszyn synchronicznych z uwzględnieniem sposobów ich pomiaru. Przegląd Elektrotechniczny Nr 1, 1962.
- [7] Provazník F.: Neustálené jednodimenzionální tepelné proudění v tyčovém vodiči. Elektrotechnický Obzor Nr 6, 1963.

Przyjęto do druku w lipcu 1977 r.

ОПЕРАТОРНАЯ СХЕМА ЗАМЕЩЕНИЯ "ТЕПЛОВОЙ МОДУЛИ"
ЭЛЕКТРИЧЕСКИХ МАШИН В ТЕПЛОМ НЕУСТАНОВИВШЕМСЯ
РЕЖИМЕ И ЕГО АППРОКСИМАЦИЯ ПРИВЛИЗИТЕЛЬНЫМИ ЭЛЕКТРИЧЕСКИМИ АНАЛОГАМИ

Р е з ю м е

Применяя преобразование Лапласа-Карсона в дифференциальных уравнениях теплопроводности описывающих тепловые переходные процессы в прямом отрезке стержня обмотки, построили операторную схему замещения "тепловой модули" электрической машины, принимая среднюю температуру, как переменную состояния. Предложили аппроксимацию этой "тепловой модули" при помощи электрических аналоговых схем замещения. Обсудили влияние геометрических размеров выделенного отрывка стержня на расхождение амплитудно-фазных частотных характеристик приближительного электрического аналога в отношении к "тепловой модули".

THE OPERATIONAL EQUIVALENT CIRCUIT OF A "THERMAL UNIT"
IN ELECTRICAL MACHINES AND ITS APPROXIMATION BY ELECTRICAL ANALOGS

S u m m a r y

The Laplace-Carson transformation of the partial differential equations, describing the heat flow in straight part of the winding bar, enables to compose the operational equivalent circuit of a "thermal unit" of the electrical machine under consideration of the average temperature as state variable. The approximation possibilities of this equivalent circuit by electrical analog circuits were discussed. It was presented how the geometrical size of the heated bar part influences the frequency response discrepancy of the "thermal unit" and its approximative electrical analog.